

# 制八角枫 HPLC 指纹图谱研究

余启荣, 和芳\*, 高柏丽, 胡玉霞

(北京创立科创医药技术开发有限公司, 北京 100029)

**[摘要]** 目的: 建立制八角枫高效液相指纹图谱。方法: 采用高效液相色谱法, 色谱柱采用 Alltech Apollo C<sub>18</sub> (4.6 mm × 250 mm, 5 μm), 以乙腈-缓冲液(缓冲液: 0.2 g 庚烷磺酸钠、3.5 g 磷酸二氢钾定容至 1 000 mL)作为流动相梯度洗脱。结果: 建立了制八角枫的 HPLC 指纹图谱, 方法学考察符合指纹图谱技术要求。结论: 该方法稳定、准确、可靠, 为制八角枫质控指标的制定提供了科学依据。

**[关键词]** 制八角枫; 高效液相色谱; 指纹图谱

**[中图分类号]** R284.1 **[文献标识码]** A **[文章编号]** 1005-9903(2011)06-0117-04

## HPLC Fingerprint Spectrum of Radix Alangii Preparata

YU Qi-rong, HE Fang\*, GAO Bai-li, HU Yu-xia

(Beijing Supertrack Medical Technology Develop Ltd., Beijing 100029, China)

**[Abstract]** **Objective:** To establish the HPLC fingerprint of the pieces of Radix Alangii Preparata. **Method:** Using the high performance liquid chromatography, the chromatographic column was Alltech Apollo C<sub>18</sub> (4.6 mm × 250 mm, 5 μm) and acetonitrile-buffer (buffer: 0.2 g heptane sulfonate, 3.5 g potassium dihydrogen phosphate volume to 1 000 mL) was selected as mobile phase gradient elution were adopted. **Result:** Established HPLC fingerprint of R Alangii Preparata, and the results of methodological studymet the technical requirements for fingerprinting. **Conclusion:** The method is stable, accurate, and reliable, to provide a scientific basis of quality control standard for the R. Alangii Preparata.

**[Key words]** Radix Alangii Preparata; HPLC; fingerprint

制八角枫为八角枫的炮制加工品, 八角枫为八角枫科植物八角枫 *Alangium chinense* (Lour.) Harms 的干燥细根及须根<sup>[1]</sup>。为少数民族使用药, 具有祛风通络, 散瘀镇痛、麻醉及松弛肌肉等作用<sup>[2-3]</sup>。其须根及支根含生物碱、酸类、氨基酸、有机酸、树脂等, 而其中的生物碱为八角枫碱, 是松弛肌肉的主要活性成分, 也是其毒性的主要来源<sup>[4]</sup>。本实验采用 HPLC, 建立了制八角枫的 HPLC 指纹图谱, 旨在完

善制八角枫质量标准。

### 1 仪器与试剂

岛津 LC-2010A 高效液相色谱仪, KQ-250DB 型数控超声波清洗器(昆山市超声仪器有限公司), Sartorius CP225D 电子天平(北京赛多利斯仪器系统有限公司), BL610 型电子天平(北京赛多利斯仪器系统有限公司)。八角枫碱对照品(购自 Toronto Researd chemicals Inc, 批号 A637175, 供含量测定用), 乙腈为色谱纯, 其他试剂均为分析纯; 水为超纯过滤水; 制八角枫来源见表 1。

### 2 方法与结果

**2.1 色谱条件** Alltech Apollo C<sub>18</sub> 柱(4.6 mm × 250 mm, 5 μm), 流动相乙腈(A)-缓冲液(缓冲液: 0.2 g 庚烷磺酸钠、3.5 g 磷酸二氢钾定容至 1 000 mL)(B); 洗脱梯度: 0 ~ 5 min, 100% B; 5 ~ 15 min,

**[收稿日期]** 20101217(001)

**[基金项目]** 国家“十一五”科技支撑计划项目(2007BA148B08-5)

**[第一作者]** 余启荣, 甘肃通渭人, 主要从事新药研究工作, E-mail: longyuanren686@sina.com

**[通讯作者]** \* 和芳, 主要从事药学研究及管理工作, E-mail: fanghe@vip.sina.com

表 1 制八角枫来源及药材产地

批号	产地	批号	产地
A	20080701 云南	H	20090601 云南
B	20080702 云南	I	20090602 云南
C	20080703 云南	J	20090603 云南
D	自制 20081001 云南	K	自制 20090604 贵州
E	20081002 云南	L	20090605 贵州
F	20081003 云南	M	20090701 四川
G	20090501 云南	N	20090702 四川

100% ~ 95% B; 15 ~ 30 min, 95% ~ 86% B; 30 ~ 45 min, 86% ~ 100% B; 45 ~ 50 min, 100% B; 流速 1.0 mL·min<sup>-1</sup>; 柱温 30 °C; 检测波长 259 nm; 理论板数按八角枫碱峰计算应不低于 5 000。

**2.2 对照品溶液的制备** 取八角枫碱对照品适量, 精密称定, 加含 5% 醋酸的 30% 甲醇溶液制成 0.1 g·L<sup>-1</sup> 的溶液, 即得。

**2.3 供试品溶液的制备** 取制八角枫于 60 °C 干燥 4 h, 粉碎, 取粉末(过四号筛)约 0.5 g, 精密称定, 置具塞锥形瓶中, 精密加入含 5% 醋酸的 30% 甲醇溶液 25 mL, 密塞, 称定质量, 超声处理(功率 250 W, 频率 40 kHz)50 min, 放冷, 再称定质量, 用含 5% 醋酸的 30% 甲醇溶液补足减失的质量, 摇匀, 滤过, 即得。

**2.4 测定** 在上述色谱条件下, 分别吸取对照品溶液、供试品溶液各 10 μL, 注入液相色谱仪, 测定, 得色谱图见图 1。

**2.5 方法学考察**<sup>[5-6]</sup>

**2.5.1 精密密度试验** 取制八角枫(批号 20090501) 供试品溶液, 连续进样 6 次, 以八角枫碱的保留时间和峰面积为参照, 对各主要共有色谱峰相对保留时间和相对峰面积进行统计。结果, 各主要共有色谱峰相对保留时间和相对峰面积均基本一致, RSD < 3%, 表明仪器精密密度良好。

**2.5.2 稳定性试验** 取制八角枫(批号 20090501) 供试品溶液在室温下保存, 分别于 0, 1, 4, 8, 12, 24 h 测定, 以八角枫碱的保留时间和峰面积为参照, 对各主要共有色谱峰相对保留时间和相对峰面积进行统计。结果, 各主要共有色谱峰相对保留时间和相对峰面积均基本一致, RSD < 3%, 表明 24 h 内测定结果稳定。

**2.5.3 重复性试验** 取制八角枫(批号 20090501) 于 60 °C 干燥 4 h, 粉碎, 取粉末(过四号筛)6 份, 每份约 0.5 g, 精密称定, 按 2.3 项下供试品溶液制备

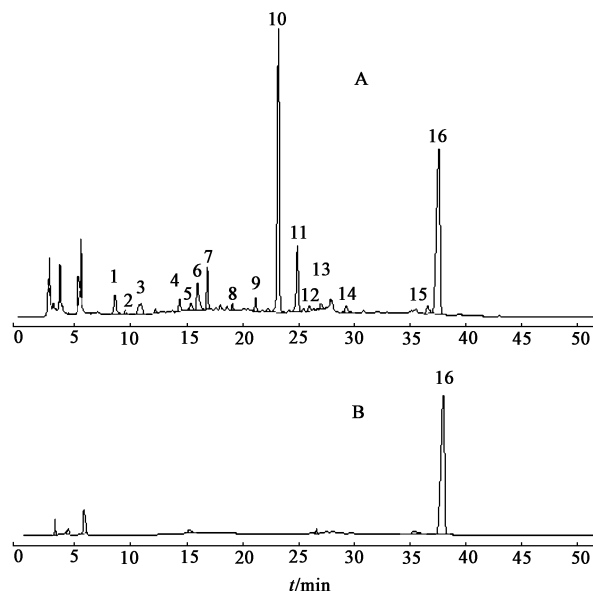


图 1 八角枫碱对照品及制八角枫 HPLC 图  
A. 样品; B. 对照品; 16. 八角枫碱

方法进行制备, 依次测定, 以八角枫碱的保留时间和峰面积为参照, 对各主要共有色谱峰相对保留时间和相对峰面积进行统计。结果, 各主要共有色谱峰相对保留时间和相对峰面积均基本一致, RSD < 3%, 表明重复性良好。

**2.6 同一产地制八角枫指纹图谱采集**

**2.6.1 同一产地 10 批制八角枫的测定** 取药材产地为云南的 10 批制八角枫于 60 °C 干燥 4 h, 粉碎, 取粉末(过四号筛)约 0.5 g, 精密称定, 按 2.3 项下供试品溶液制备方法进行制备, 按上述色谱条件依次进样测定, 以八角枫碱的保留时间和峰面积为参照, 分别对各共有色谱峰相对保留时间和相对峰面积进行统计, 结果见表 2, 3。

由表 1, 2 结果可以看出, 10 批制八角枫共有 11 个共有峰, 分别为 1, 3, 6, 7, 9 ~ 11, 13 ~ 16, 其中 16 号峰为八角枫碱。除上述色谱峰外, A, B, C, D, E, H, I, J 在 9.252 min 左右有共有峰, A, B, C, D, E, F, H, I, J 在 13.890, 14.972, 18.592 min 左右有共有峰, A, B, C, D, E, F 在 25.271 min 左右有共有峰。

**2.6.2 共有峰的确定及制八角枫指纹图谱共有模式的建立** 运用中药指纹图谱相似度评价系统 2004A 版对 10 批制八角枫的指纹图谱进行相似度分析, 以 S1 为参照图谱, 经过多点校正、自动匹配, 以中位数法, 生成对照图谱 R, 由匹配数据的输出结果得到共有峰共 11 个, 见图 2。

表 2 10 批制八角枫指纹图谱相对保留时间

No	A	B	C	D	E	F	G	H	I	J
1	0.231	0.231	0.230	0.230	0.230	0.229	0.230	0.229	0.228	0.228
2	0.255	0.254	0.254	0.254	0.254	-	-	0.254	0.253	0.253
3	0.292	0.292	0.292	0.291	0.291	0.292	0.295	0.292	0.293	0.293
4	0.384	0.383	0.382	0.382	0.381	0.381	-	0.381	0.379	0.379
5	0.410	0.411	0.412	0.411	0.411	0.411	-	0.412	0.411	0.411
6	0.427	0.427	0.427	0.426	0.426	0.426	0.428	0.427	0.426	0.426
7	0.450	0.450	0.450	0.450	0.451	0.450	0.452	0.451	0.450	0.451
8	0.510	0.511	0.511	0.511	0.510	0.510	-	0.511	0.510	0.509
9	0.565	0.565	0.564	0.564	0.564	0.564	0.566	0.565	0.565	0.564
10	0.619	0.619	0.619	0.619	0.619	0.618	0.619	0.617	0.617	0.616
11	0.664	0.663	0.664	0.664	0.663	0.663	0.664	0.662	0.661	0.660
12	0.692	0.692	0.693	0.693	0.693	0.692	-	-	-	-
13	0.719	0.720	0.719	0.720	0.720	0.720	0.722	0.721	0.720	0.720
14	0.780	0.779	0.779	0.779	0.778	0.779	0.780	0.778	0.776	0.776
15	0.973	0.974	0.974	0.974	0.974	0.974	0.977	0.976	0.975	0.975
16(S)	1.000	1.000	1.000	1.000	1.000	1.000	1.000	1.000	1.000	1.000

表 3 10 批制八角枫指纹图谱相对峰面积

No	A	B	C	D	E	F	G	H	I	J
1	0.083	0.083	0.068	0.066	0.069	0.068	0.158	0.100	0.118	0.118
2	0.016	0.016	0.015	0.015	0.014	-	-	0.024	0.024	0.027
3	0.080	0.080	0.072	0.071	0.071	0.071	0.087	0.097	0.062	0.062
4	0.034	0.033	0.030	0.031	0.029	0.028	-	0.035	0.021	0.018
5	0.029	0.028	0.020	0.024	0.022	0.019	-	0.029	0.028	0.027
6	0.110	0.116	0.097	0.090	0.107	0.103	0.100	0.125	0.086	0.075
7	0.099	0.100	0.092	0.098	0.100	0.088	0.124	0.112	0.100	0.098
8	0.017	0.020	0.019	0.020	0.018	0.018	-	0.035	0.025	0.021
9	0.036	0.037	0.036	0.036	0.032	0.033	0.062	0.052	0.041	0.040
10	0.967	0.956	0.947	0.945	0.911	0.899	1.424	1.077	1.402	1.398
11	0.224	0.222	0.218	0.217	0.218	0.219	0.235	0.200	0.259	0.261
12	0.018	0.018	0.017	0.018	0.018	0.019	-	-	-	-
13	0.027	0.031	0.018	0.019	0.019	0.019	0.061	0.035	0.041	0.091
14	0.042	0.037	0.031	0.040	0.026	0.025	0.051	0.029	0.036	0.054
15	0.037	0.017	0.016	0.016	0.029	0.029	0.053	0.037	0.045	0.033
16(S)	1.000	1.000	1.000	1.000	1.000	1.000	1.000	1.000	1.000	1.000

**2.6.3 指纹图谱相似度评价** 使用中药色谱指纹图谱相似度评价系统 2004A 版进行相似度分析,结果 10 批制八角枫与相应对照图谱的相似度均大于 0.97,符合要求。

## 2.7 不同产地制八角枫指纹图谱采集

**2.7.1 不同产地制八角枫的测定** 取药材产地为贵州、四川、云南的制八角枫于 60 ℃ 干燥 4 h,粉碎,取粉末(过四号筛)约 0.5 g,精密称定,按 2.3 项下

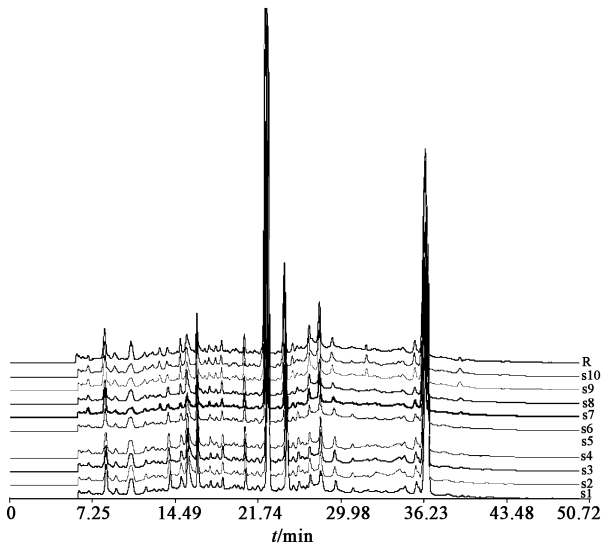


图 2 10 批制八角枫(药材产地:云南)指纹图谱  
R. 生成的对照图谱

供试品溶液制备方法进行制备,按上述色谱条件依次进样测定,见图 3。

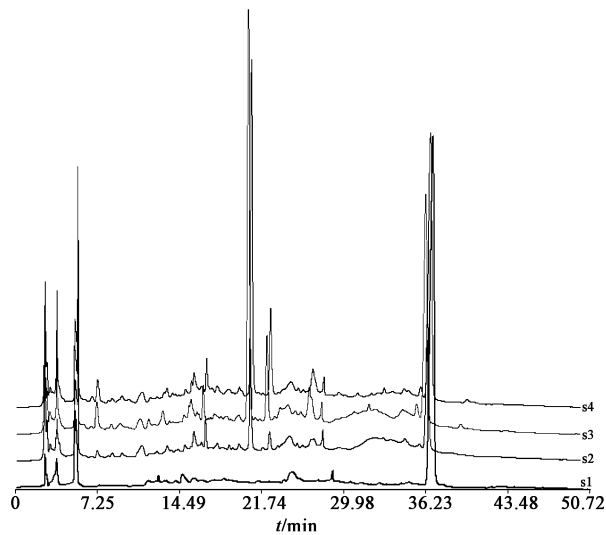


图 3 不同产地制八角枫指纹图谱

S1. 八角枫碱对照品;S2. 制八角枫-贵州;  
S3. 制八角枫-四川;S4. 制八角枫-云南

**2.7.2 指纹图谱相似度评价** 使用中药色谱指纹图谱相似度评价系统 2004A 版进行相似度分析,结果贵州、四川、云南三地的制八角枫与相应对照图谱的相似度均大于 0.95,符合要求。

### 3 讨论

**3.1 流动相的选择** 比较了乙腈-缓冲液(缓冲液:0.2 g 庚烷磺酸钠、3.5 g 磷酸二氢钾定容至 1 000 mL)不同洗脱梯度对样品的分离情况,结果当乙腈-缓冲液(缓冲液:0.2 g 庚烷磺酸钠、3.5 g 磷酸二氢钾定容至 1000 mL)洗脱梯度为:0~5 min, 100% B;5~15 min, 100%~95% B;15~30 min, 95%~86% B;30~45 min, 86%~100% B;45~50 min, 100% B 时,样品中各峰分离度好。

**3.2 检测波长的选择** 分别考察 240,259,270,300 nm 4 个检测波长下样品的分离图谱,以 259 nm 下的信息量较丰富,而且色谱峰的表现丰度高,基线平稳。

**3.3 色谱柱的选择** 分别考察了样品在 Alltech Apollo C<sub>18</sub> 柱、Alltech Alltima C<sub>18</sub> 柱、Agilent HP-C<sub>18</sub> 柱、Diamonsil C<sub>18</sub> 柱等不同品牌色谱柱的分离情况,结果色谱柱对样品中色谱峰的分离影响不大,色谱条件能在上述色谱柱上均能重现。

通过测定,云南产地的 10 批制八角枫和四川、贵州产地的制八角枫与生成的对照图谱比较相似度良好,均大于 0.95。各产地制八角枫各主要色谱峰相对保留时间基本一致,而且所含成分基本相同,符合指纹图谱的要求,但主要色谱峰的峰面积差异较大,可能与产地、加工炮制等因素有关,将进一步研究炮制对制八角枫化学成分的影响,以保证制八角枫质量的稳定性。

#### [参考文献]

- [1] 中国药典.一部[S].1977:6.
- [2] 贾敏如,李星炜.中国民族药志要[M].北京:中国医药科技出版社,2005:24.
- [3] 杨仓良.毒药本草[M].北京:中国中医药出版社,1993:172.
- [4] 全国中草药汇编.全国中草药汇编(上)[M].北京:人民卫生出版社,1982:14.
- [5] 谢培山.中药色谱指纹图谱[M].北京:人民卫生出版社,2004,11(18),175.
- [6] 周玉新.中药指纹图谱研究技术[M].北京:化学工业出版社,2002:8.

[责任编辑 蔡仲德]